

ژئوشیمی و خاستگاه زمین‌ساختی سنگ‌های آتشفشاری تتماج، جنوب شرق کاشان

مریم امین‌الرعايابي یمینی^{*}، علی کنانيان^{*}، جمشيد احمديان^{*}

^۱ دانشکده زمین‌شناسی، پرديس علوم، دانشگاه تهران، صندوق پستی: ۱۴۱۵۵-۱۴۴۵۵، تهران

^۲ دانشگاه پيام نور اصفهان، گروه زمین‌شناسی، خيابان كهندز، بالاتر از سه راهي رهنان کد پستي ۸۱۴۶۵/۶۱۷، اصفهان

^{*} مسئول مکاتبات-آدرس الکترونیکی: kananian@khayam.ut.ac.ir

(دریافت: ۸۴/۷/۱۴؛ پذیرش: ۸۴/۱۲/۲۰)

چكیده

سنگ‌های آتشفشاری-رسوبی تتماج در جنوب شرق کاشان شامل تنابوي از گدازه‌ها (بازالت تا آندزيت) و مواد آذرآواری (انواع توف و آگلومرا) همراه با بین-لايه‌هایی از سنگ‌های رسوبی (آهک و ماسه سنگ) هستند. سنگ‌های آهکی اين مجموعه حاوي فسيلهای دريابي کم عمق الیگوسن می‌باشند. بازالت‌های تتماج، بر اساس داده‌های ژئوشيمياي عناصر اصلی و كمياب، شباهت زيادي با گدازه‌های كالك‌آلكلالن دارند. مقدار Al_2O_3 آنها زياد و در عين حال عدد منيزيمی پائيني دارند. نسبت Zr/Y در اين سنگ‌ها بيش از ۳ است که از اين لحظه با سنگ‌های آتشفشاری قوس‌های قاره‌اي مشابه‌اند. در نمودار عناصر كمياب نرماليزه شده به پشت‌های ميان اقيانوسی غني شده (E-MORB)، عناصر (Ti، P، Nb و Rb دارای آنمالي منفي هستند ولی Pb و K آنمالي مثبت نشان مي‌دهد. نسبت Th/Yb در محدوده بين $0.0/1.9$ تا $0.3/2.6$ در تغيير است در صورتی که نسبت Ta/Yb نمونه‌ها از $0.9/8$ تا $1.9/2.3$ تغيير مي‌کند که اين شواهد از مشخصات سنگ‌های ماگماي مناطق فروزانش می‌باشد. غني‌شده‌گي اين سنگ‌ها از عناصر با پتانسيل يونی پايان (LILE) و عناصر نادر خاکي سبك (REE) حاکي از اين است که گدازه‌ها احتمالاً از ذوب بخشی گوه گوشته‌ای که خود در اثر تماس با سيلات مشتق از پوسته اقيانوسی فروزنده، از عناصر كمياب غني‌شده بودند، منشأ گرفته‌اند.

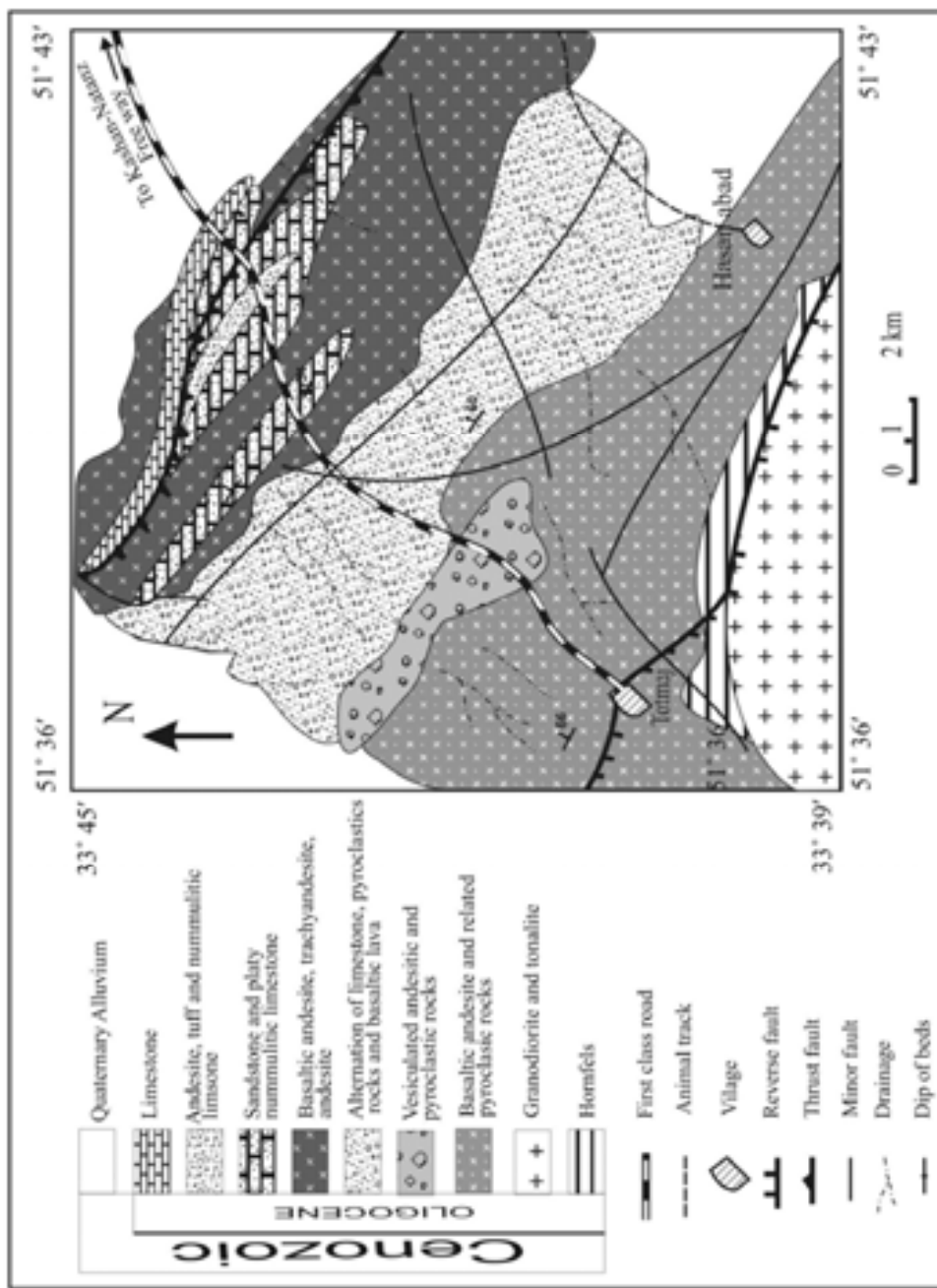
واژه‌های کلیدی: ژئوشيمى، بازالت، زون فروزانش، قوس آتشفشاری قاره‌اي، تتماج.

این نوار اشاره کرده است، تأکید زیادی بر کالک‌آلکالالن بودن آن‌ها دارد. مهدوی زرقندی (۱۳۵۷) با تجزیه ۳ نمونه از سنگ‌های آتشفشاری منطقه ابیانه (بین نطنز و کاشان) به قرارگیری این سنگ‌ها در سری آلکالان اشاره کرده، ولی این ويزگی را ناشی از ظهور اپيدوت‌های غني از کلسیم و آهن در آن‌ها قلمداد می‌کند. به اعتقاد وي سنگ‌های آتشفشاری تتماج، حسن آباد، کوههای شمال ابیانه و کوههای بین زنجانبر را نمی‌توان آلکالالن در نظر گرفت. به اعتقاد بربريان و همکاران (Berberian *et al.* 1982) مجموعه سنگ‌های آذرین مذکور در امتداد یک قوس ماگماي از نوع آندی با ويزگی‌های کالک‌آلکالالن به وجود آمداند. بربريان و بربريان (1981) آندزيت‌های پالئوزن ناحيه نطنز را در ارتباط با ماگماتيس جزاير قوسی می‌دانند. امامي (۱۳۷۹) دليل فعالیت‌های آتشفشاری ائوسن در بخش‌های مختلف ايران را به فاز کششی سراسری مهمی نسبت داده که به دنبال فاز فشاری کرتاسه پايانی روی داده است. معین‌وزيری (۱۳۸۳) نحوه تشكيل اين نوار ماگماي را با فروزانش پوسته اقيانوسی وسیع نئوتیس به زير ايران مرکزي در زمان مژوزوئیک مرتبط می‌داند. به اعتقاد وي شکسته شدن پوسته اقيانوسی در حال فروزانش در

مقدمه

مجموعه آتشفشاری-رسوبی تتماج بخشی از نوار آتشفشاری اروميه-دختر است که با وسعتي بالغ بر 60 کيلومتر مربع، بین طول‌های جغرافيايی $39^{\circ} 33' - 43^{\circ} 51'$ تا $36^{\circ} 51'$ و عرض‌های جغرافيايی $45^{\circ} 36' - 45^{\circ} 51'$ در استان اصفهان و جنوب شرق شهرستان کاشان قرار دارد (شکل ۱). بر اساس تقسيم‌بندی زون‌های ساختماني-رسوبی ايران (Stöcklin 1968، Stöcklin & Nabavi 1973) اين مجموعه در زون ايران مرکزي واقع شده است. در غرب اين زون، نوار ماگماي اروميه-دختر متشکل از سنگ‌های آتشفشاری سنوزوئيك و پيروكلاستيك‌های وابسته به آن قرار دارند که به موازات زون دگرگون شده سنتنچ-سيرجان رخمنون‌های گسترده‌ای را تشکيل داده‌اند. در داخل اين سنگ‌های آتشفشاری، توده‌های نفوذی متعدد با سن و تركيب مختلف نيز نفوذ نموده‌اند.

در مورد گرایش ژئوشيمياي سنگ‌های آتشفشاری نوار اروميه-دختر، نظرات متفاوتی وجود دارد ولی اغلب زمین‌شناسان آن را کالک‌آلکالالن دانسته‌اند (Jung *et al.* 1975). عميدى (Amidi 1975) با اين که به سرشت آلکالالن سنگ‌های آتشفشاری ترشيری در بخشی از



شکل ۱- نقشه زمین‌شناسی منطقه مورد مطالعه که با توجه به نتایج این پژوهش و نقشه زمین‌شناسی ۱:۱۰۰۰۰۰ چهار گوش نطنز (علائی مهابادی و خلعتبری جغرافی ۱۳۷۷) تهیه شده است.

از سنگ‌های منطقه و تلفیق این اطلاعات با داده‌های پتروگرافی، تلاش بیشتری برای پی بردن به ماهیت ژئوشیمیایی سنگ‌های آتشفسانی منطقه صورت پذیرد.

موقعیت زمین‌شناسی منطقه

مجموعه آتشفسانی-رسوبی تتماج واقع در ۲۵ کیلومتری جنوب شرق کاشان، بخشی از نقشه زمین‌شناسی ۱:۱۰۰۰۰۰ چهار گوش نطنز

کرتاسه بالایی و توقف لیتوسفر اقیانوسی شکسته شده در داخل گوشه موجب برقراری تعادل حرارتی بین گوشه و لیتوسفر اقیانوسی شده و در پی آزاد سازی آب از سطح لیتوسفر اقیانوسی، گوه گوشه‌ای میزبان آن متحمل ذوب بخشی شده ماقمatisم شدید دوره‌های بعد از ائوسن را رقم زده است.

با توجه به اختلاف نظرهایی که در مورد سرشت و نحوه تشکیل سنگ‌های آتشفسانی ترشیری در این بخش از ایران وجود دارد، در مقاله حاضر سعی شده با اتكا به نتایج آنالیز شیمیایی تعداد ۱۴ نمونه

آذرآواری و ۳۰٪ سنگ رسوبی تشکیل شده‌اند. در زیر به تشریح بخش‌های اصلی سنگ‌های آتشفسانی-رسوبی تتماج می‌پردازیم. سنگ‌های آتشفسانی- این سنگ‌ها بیشتر به صورت توده‌ای ولی گاهی به صورت بین لایه‌ای به ضخامت حدود ۵ تا ۲۵ متر در بین سنگ‌های رسوبی و آذرآواری قرار گرفته‌اند. مطالعات میکروسکوپی نشان داد که سنگ‌های آتشفسانی منطقه تتماج شامل آندزیت، آندزیت بازالتی و بازالت هستند. بافت آن‌ها میکروولیتی پرفیریک، حفره‌ای و بادامکی است. اندازه حفرات در گدازه‌های مافیک از ۲ میلی‌متر تا ۲ سانتی‌متر متغیر است. گاه در همبری روانه‌های گدازه با سنگ‌های آذرآواری و یا رسوبات آهکی، رگه‌هایی از کلسیت و کوارتز نفوذ کرده است. فنوکریست‌ها از ۱۵ تا ۳۵ درصد حجم سنگ را به شرح زیر تشکیل می‌دهند:

۱) پلاژیوکلاز؛ این کانی حدود ۸۰٪ از کل فنوکریست‌های سنگ را شامل می‌شود. پلاژیوکلازها اغلب شکل دار تا نیمه‌شکل دارند و ماکل پلی‌سنتیک نشان می‌دهند. در برخی از پلاژیوکلازها زونینگ نیز مشاهده می‌شود . در جریان دگرسانی این کانی به آلبیت، اپیدوت، کوارتز، کلسیت و کلریت تبدیل شده است (شکل ۲A).

پلاژیوکلازهای موجود در روانه‌های مافیک منطقه تتماج دارای بافت غربالی (شکل ۲C) هستند. با این‌که برخی از محققین ظهور این بافت Gutman را به فرآیند اختلال ماقمایی نسبت می‌دهند (1977, Stewart & Pearce 1992 Nelson 2004) اما استوارت و پیرس (Stewart & Pearce 2004) معتقدند که ناپایداری بلورهای پلاژیوکلاز در حین حرکت سریع ماقما به سمت بالا باعث پیدایش بافت غربالی در پلاژیوکلاز می‌شود. چرا که بعضی از قسمت‌های پلاژیوکلاز به طور بخشی ذوب می‌شود و محصولات ناشی از ذوب پلاژیوکلاز در داخل بلور شروع به تبلور می‌نمایند. بر حسب این که نرخ کاهش دما سریع یا آهسته باشد، این محصولات به صورت شیشه یا پلاژیوکلاز جدید در داخل پلاژیوکلاز اولیه متبلور می‌شوند و باعث ظهور بافت غربالی در پلاژیوکلازها می‌شوند.

۲) کانی‌های مافیک به دو صورت کلینوپیروکسن (اوژیت) و آمفیبول (از نوع منیزیوهرونبلند بر اساس آنالیز XRD) در نمونه‌ها حضور دارند و حدود ۱۰٪ از فنوکریست‌های سنگ را به خود اختصاص داده‌اند. این کانی‌ها به صورت نیمه شکل دار هستند و در نمونه‌های آلتره شده توسط اکتینولیت، هماتیت و کلریت جانشین شده‌اند. به طوری که در برخی قسمت‌ها فقط قالبی از آن‌ها به جای مانده است (شکل ۲B).

زمینه دانه ریز حدود ۷۰ درصد حجم سنگ را به خود اختصاص داده است که در این میان میکروولیت‌های پلاژیوکلاز بیشترین فراوانی را دارند. در فضای بین میکروولیت‌ها کانی‌های اوژیت، آپاتیت و اپاک واقع شده‌اند. سریسیت، کلریت، اپیدوت به همراه کلسیت، کوارتز و

(علایی مهابادی و خلعت بری جعفری ۱۳۷۷) را تشکیل داده است. در نقشه مذکور سنگ‌های منطقه تحت عنوان آندزیت، تراکی آندزیت، آندزیت بازالتی، داسیت-آندزیت، ایگنیمیریت ریولیتی، ایگنیمیریت تراکیتی، ایگنیمیریت داسیتی-ریولیتی معرفی شده‌اند. قدیمی‌ترین سنگ‌های موجود در این چهارگوش که به پرکامبرین منسوب می‌شود، به صورت مجموعه‌ای متناوب از شیل و ماسه‌سنگ (سازند مراد)، با کنتاکت گسلی در زیر تناوبی از سنگ‌های دولومیتی و دیابازی (سازند ریزو) رخمنون دارند. این مجموعه در جنوب شرقی تتماج واقع شده است. واحدهای پالئوزوئیک و مژوزوئیک به صورت متأندزیت، متابازالت، شیست (سازند نیور)، شیل، کنگلومرا، ماسه سنگ، دولومیت و سنگ آهک در بخش جنوب و جنوب شرقی چهارگوش قابل مشاهده‌اند و سنگ‌های سنوزوئیک نیز در قالب سنگ‌های آتشفسانی، ماسه سنگ، تراورتن و سنگ آهک در قسمت‌های شمال، مرکز و جنوب شرق رخمنون‌های گسترده‌ای را تشکیل داده‌اند. سنگ‌های آتشفسانی مورد مطالعه بخشی از واحدهای سنوزوئیک هستند که در شمال تتماج، در اثر نفوذ یک توده گابرویی تا کوارتز دیوریتی به سین پس از الیگومن، متحمل دگرگونی مجاورتی شده و به هورنفلس تبدیل شده‌اند (Pourhosseini 1981). سنگ‌های آتشفسانی مذکور توسط گسل نطنز از سنگ‌های گابرویی منطقه جدا شده‌اند. واحدهای جوان‌تر در این چهارگوش، شامل رسوبات کواترنر می‌باشد که به صورت تپه‌های ماسه‌ای و آبرفت‌های رودخانه‌ای رخمنون پیدا کرده‌اند.

روش مطالعه

مطالعه مجموعه آتشفسانی-رسوبی در دو بخش صحرایی و آزمایشگاهی انجام شد. در بخش صحرایی از محدوده مورد نظر با توجه به تغییرات سنگ‌شناسی و ویژگی‌های فیزیکی نظیر رنگ و اندازه ذرات، تعداد ۱۵۰ نمونه برداشت شد. شناسایی مشخصه‌های اصلی سنگ‌شناسی شامل خصوصیات بافتی و ترکیب کانی‌شناسی با تکیه بر روش‌های پتروگرافی و با استفاده از میکروسکوپ پلاریزان صورت گرفت. سپس تعداد ۱۵ نمونه از سنگ‌های سالم و کمتر دگرسان شده جهت تجزیه شیمیایی با دستگاه XRF انتخاب گردید و به دانشگاه ناروتو ژاپن ارسال شد. همچنین مقادیر عناصر نادر خاکی ۵ نمونه از سنگ‌های مافیک منطقه نیز در آزمایشگاه ALS Chemex کشور کانادا به روش ICP آندازه‌گیری شد که نتایج این پژوهش در مقاله حاضر ارائه شده است.

روابط صحرایی و پتروگرافی

سنگ‌های آتشفسانی-رسوبی الیگومن در منطقه تتماج ضخامتی بالغ بر ۷۰۰ متر دارند. این سنگ‌ها از حدود ۵٪ گدازه، ۲۰٪ سنگ

سنگ‌های رسوبی- سنگ‌های رسوبی منطقه تتماج به رنگ قهوه‌ای روشن دیده می‌شوند. این سنگ‌ها به صورت توده‌ای و یا لایه‌هایی به ضخامت متوسط ۳۰ سانتی‌متر در بین سنگ‌های آتشفسانی قرار گرفته‌اند. شب طبقات رسوبی در حدود ۷۰ درجه به سمت شمال شرق می‌باشد. گاهی در این سنگ‌ها لایه بندی ظریفی دیده می‌شود که این امر می‌تواند نشان‌دهنده تشکیل این سنگ‌ها در یک محیط زیردریایی آرام باشد.

بررسی‌های میکروسکوپی نشان می‌دهد که این سنگ‌ها بايوکلاستیک پکستون، بايوکلاستیک باندستون و بايوکلاستیک گرینستون هستند. فسیل‌های موجود در سنگ‌های آهکی شامل انواع (Loeblich & Tappan 1988) زیر است که طبق نظر لوبلیش و تاپان (Loeblich & Tappan 1988) متعلق به الیگوسن بوده و در یک محیط زیردریایی نزدیک به ساحل می‌زیسته‌اند:

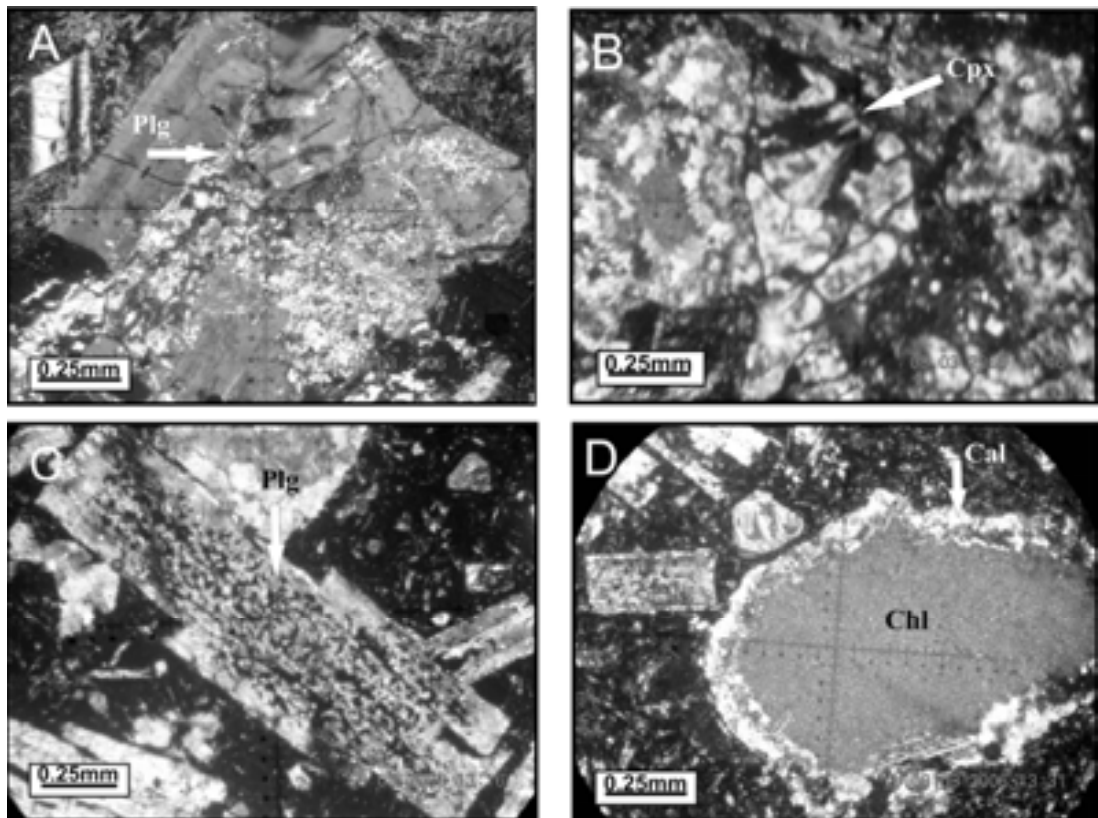
Operculina complanata
Eulepidina dilate
pellatispira sp.
haplophragmium slingeri
victoriella sp.
Astrigerina sp.
Coral bryozoa Gastropoda.
Heterostegina sp.

Rotalia viennoti
Planorbulina sp.
Neoalveolina sp.
Pyrgo sp.
Astrigerina sp.
Echinoid spine.
Nummulites sp.
Amphistegina sp.

هماتیت رگه‌ها و حفرات را پر کردند. وجود ساخت حفره‌ای در آندزیت، آندزی بازالت و بازالت‌های منطقه تتماج نشان می‌دهد که ماغماهای سازنده این سنگ‌ها دارای مقدار قابل توجهی سیال بوده است (Philpotts 1990). در برخی قسمت‌ها این حفرات توسط کانی‌های ثانوی پر شده و ساخت بادامکی در سنگ‌ها ایجاد شده است.

سنگ‌های آتشفسانی گاه به وسیله دایک‌هایی با ترکیب دلیریتی قطع شده‌اند. دایک‌ها در نمونه دستی با رنگ سبز تیره مشخص می‌شوند و به وفور حاوی فنوکریست‌های پلاژیوکلاز و کلینوپیروکسن می‌باشند.

سنگ‌های آذرآواری- سنگ‌های آذرآواری منطقه تتماج بر اساس رده‌بندی فیشر و اشمینک (Fisher & Schmincke 1984) در رده کریستال-لیتیک توف، لایلی توف و آگلومرا قرار می‌گیرند. کریستال-لیتیک توف‌ها عمده‌ای ترکیب آندزیتی، آندزیت بازالتی و در برخی موارد ماسه‌ای هستند. خرد سنگ‌های سازنده این سنگ‌ها از جنس آتشفسانی با بافت میکرولیتی و هیالوپیریک حفره‌دار هستند. از دیگر اجزاء تشکیل دهنده این سنگ‌ها می‌توان به بلورهای پلاژیوکلاز و به مقدار کمتر کلینوپیروکسن اشاره کرد. کانی‌های کلریت، اپیدوت، کلسیت، هماتیت و کوارتز به صورت پزو دومورف جانشین کانی‌های اصلی سنگ شده‌اند. اندازه قطعات سنگی در توف‌ها کمتر از ۲ میلی‌متر و در آگلومراها گاه به ۱۵ سانتی‌متر می‌رسد.



شکل ۲- تصاویر میکروسکوپی از سنگ‌های منطقه تتماج. A: پلاژیوکلاز (Plg) در حال تجزیه به اپیدوت. B: کلینوپیروکسن (Cpx) تجزیه شده به کلریت و هماتیت. C: بافت غربالی در پلاژیوکلاز. D: بافت آمیگدالوئیدال در آندزیت که حفرات توسط کلریت (Cal) و کلسیت (Chl) پر شده‌اند.

موجب تمرکز آلومینیم در مذاب باقی‌مانده شده و باعث تبلور پلازیوکلاز در فشارهای کمتر می‌شود. مقدار CaO نمونه‌ها با افزایش SiO_2 کم و بیش کاهش می‌یابد که این امر می‌تواند مرتبط با تحول ترکیب پلازیوکلازها از کلسیک به سدیک در حین تبلور بخشی ماغما باشد. به هر حال ارتباط ضعیف CaO در مقابل SiO_2 احتمالاً می‌تواند ناشی از آلبیتی شدن بلورهای پلازیوکلاز باشد (Morata & Aguirre 2003).

به طور کلی ماغماهای اولیه‌ای که در تعادل با کانی‌شناسی شاخص گوشه‌های فوقانی (الیوین+ارتپیروکسن+گارنت+اسپینل) قرار دارند، باید دارای مقادیر $\text{Mg}^{\#}$ یا عدد منیزیم بالا (>0.7) باشد ($<1400 \text{ ppm}$ Ni بالا) ($<1500 \text{ ppm}$ Cr زیاد) ($<1000 \text{ ppm}$ SiO_2 کمتر از 5%). باشند Glenn (2004). معذالک اگر ماغماهای بازیک به جای مشتق شدن از یک گوشه‌های عادی از مناطق منشأ متاسوماتیره مشتق شده باشند، این معیارها دیگر کاربرد نخواهند داشت (Wilson 1989). همچنین به تناسب افزایش تحولات ماغمایی از میزان $\text{Mg}^{\#}$ آن‌ها کاسته می‌شود. ماغماهای سازنده نمونه‌های مورد آنالیز با داشتن مقدار $\text{Mg}^{\#}$ میانگین $0.3/3$ ، میزان میانگین کرم 100 و مقدار میانگین نیکل 49 ، جزء ماغماهای اولیه در تعادل با گوشه‌های فوقانی قرار نمی‌گیرند و لذا یا پس از تشکیل در گوشه‌های عادی متحمل تحولات ماغمایی شده‌اند و یا این که ماغماهایی هستند که از گوشه‌های متاسوماتیزه مشتق شده‌اند.

با استناد به شکل ۵ و جدول ۱ مقدار Zr در سنگ‌های مورد مطالعه دامنه وسیعی (بین 45 تا 167) را به خود اختصاص داده است که از این لحاظ به سنگ‌های سری کالک‌آلکالن شباهت دارد. شکل ۶، تغییرات نسبت Th/Yb در برابر Ta/Yb در سنگ‌های آتشفسانی تتماج را نشان می‌دهد. همانطور که در این شکل مشاهده می‌شود با استفاده از روند غنی‌شدگی نسبت‌های Ta/Yb و Th/Yb می‌توان به محیط تکتونیکی حاکم در منطقه پی‌برد. در این شکل خطوط منقطع محدوده سنگ‌های شوشنونیتی، کالک‌آلکالن و تولئیتی را از هم جدا می‌کنند. قلمرو سنگ‌های جزایر قوسی اقیانوسی و حاشیه فعال قاره (ACM) در روی نمودار مشخص شده است. نوار باریک محدوده ترکیبات مختلف گوشه‌های را نشان می‌دهد و پیکان‌ها به ترتیب از پایین به بالا معرف روند غنی‌شدگی گدازه‌های مناطق فرورانش (Subduction Enrichment)، روند تغییر ترکیب گدازه‌ها تحت تأثیر فرایندهای اختلاط ماغمایی و تفریق (FC)، روند تغییر ترکیب گدازه‌ها تحت تأثیر فرایندهای اختلاط ماغمایی، تفریق و آلوگی (AFC) می‌باشد. چنانچه مشاهده می‌شود نسبت Ta/Yb در سنگ‌های مذکور تقریباً ثابت ($0.3/9$ تا $1/9$) است در حالی که نسبت Th/Yb آن‌ها بین $2/3$ تا $8/9$ تغییر می‌کند. به عبارتی دیگر نحوه قرارگیری نمونه‌ها بر روی نمودار شکل ۶ خطی و به موازات

از سنگ‌های رسوبی دیگر موجود در منطقه تتماج می‌توان به ماسه‌سنگ با جورش‌گی ضعیف اشاره کرد. این سنگ‌ها در طبقه‌بندی فولک (Folk 1980) در دسته ساب لیتارنایت‌ها قرار می‌گیرند و گردش‌گی ضعیف دارند. ماسه‌سنگ‌های منطقه تتماج در برخی نقاط به صورت متناوب با سنگ‌های آهکی و یا طبقات پیروکلاستیک رخنمون دارند و در ماتریکس آن‌ها بلورهای کوچک کلسیت به چشم می‌خورد. این سنگ‌ها قادر بلوغ بافتی و کانی‌شناسی هستند که این نکته حاکی از حمل اندک مواد سازنده سنگ‌ها از محل منشاء و به عبارتی نشانه نزدیکی سنگ‌منشاء رسوبات به حوضه رسوبگذاری است.

ژئوشیمی گدازه‌ها

با توجه به دگرسانی نسبتاً گسترده سنگ‌های آتشفسانی منطقه و ظهور قابل ملاحظه کانی‌های هیدروترمال اپیدوت، کلریت، کلسیت و هماتیت در آن‌ها، در این بخش سعی شده تا برای بررسی خصوصیات اولیه سنگ‌های آتشفسانی منطقه، مطالعات ژئوشیمیابی بر روی نمونه‌های سالم و کمتر دگرسان شده متمرکز شود و در عین حال در تفسیر داده‌های ژئوشیمیابی بیشتر بر روی خصوصیات عنصری تکیه نمائیم که در محیط‌های دگرسانی هیدروترمال نسبتاً کم تحرک و غیرفعال باقی می‌مانند.

نتایج تجزیه شیمیابی ۱۴ نمونه از انواع مختلف سنگ‌های آتشفسانی تتماج در جدول ۱ ارائه شده است. درصد SiO_2 این سنگ‌ها بین 43 تا 62 درصد متغیر است و در نمودار تغییرات K_2O در مقابل SiO_2 (شکل ۳) در محدوده آندزیت، آندزیت بازالتی و بازالت قرار می‌گیرند. دامنه تغییرات K_2O این سنگ‌ها نسبتاً وسیع ($0.78/3$ تا $0.75/\text{wt.}$) است، به طوری که نمونه‌های مورد بررسی در گروه‌های مختلف سنگ‌های کم پتانسیم، با پتانسیم متوسط و پر پتانسیم قرار می‌گیرند. تنوع و پراکندگی نمونه‌ها از لحاظ مقدار K_2O می‌تواند ناشی از تحرک پذیری عنصر پتانسیم در حین فرایند دگرسانی سنگ‌های منطقه باشد.

در شکل ۴ تغییرات بعضی عناصر اصلی در مقابل SiO_2 برای سنگ‌های منطقه تتماج نمایش داده شده است. مقادیر FeO ، TiO_2 و MgO با افزایش SiO_2 روند نزولی نشان می‌دهند که این امر می‌تواند نشانه تبلور بخشی کانی کلینوپیرکسن در طی تبلور ماغما باشد (Gourgaud & Vincent 2003). در این سنگ‌ها دو ویژگی شیمیابی قابل توجه مشاهده می‌شود: ۱- مقدار Al_2O_3 نمونه‌ها بالا و در حدود 16 درصد است، ۲- عدد $(\text{Mg}^{\#} = (\text{MgO}/(\text{MgO}+\text{FeO}))$ این سنگ‌ها پایین و حدود $0.3/0$ می‌باشد. مقدار Al_2O_3 بالا در بازالت‌ها نشان دهنده تبلور کانی‌های مافیک از مذاب اولیه سازنده آن‌ها در فشارهای نسبتاً بالا است (Yoder & Tilley 1962, Gust & Perfit 1987).

جدول ۱- نتایج تجزیه شیمیابی سنگ‌های بازیک تتماج. عناصر اصلی بر حسب درصد وزنی و عناصر فرعی بر حسب ppm گزارش شده‌اند.

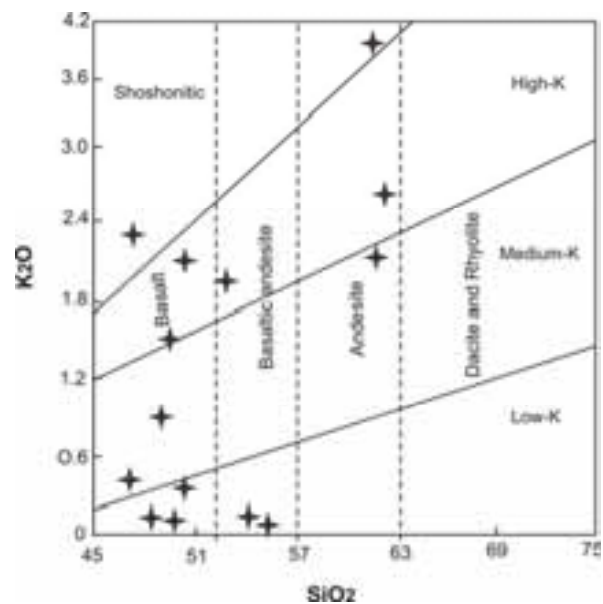
شماره نمونه	ITA	76TA	39TA	23TA	49TA	3TA	82TA	58TA	24TA	I5TA	83TA	77TA	I50TA	80TA
نام سنگ	An-Ba	An	An-Ba	Ba	Ba	An	An-Ba	Ba	Ba	An-Ba	An-Ba	An-Ba	Ba	An-Ba
SiO₂	48.7	62.2	60.57	43.54	48.8	61.4	47.1	53.94	49.7	49.79	55.51	52.42	47.4	47.53
TiO₂	0.94	0.6	1.07	1.21	1.14	0.79	1.13	0.89	1.1	0.78	0.73	1.28	1.28	0.95
Al₂O₃	15.8	15.9	14.95	18.62	19.02	16	17.28	14.04	18.48	17.35	13.01	15.13	15.4	15.97
Fe₂O₃	10.9	5.89	8.22	13.22	8.55	6.45	11.87	8.15	10.17	8.69	8.41	9.89	9.7	11.06
FeO	9.79	5.30	7.40	11.90	7.69	5.80	10.68	7.33	9.15	7.82	7.57	8.90	8.73	9.95
MgO	4.04	1.21	2.76	6.62	1.56	2.07	6.76	1.95	3.56	6.08	0.33	3.17	5.85	4.2
CaO	9.65	7.75	1.78	11.92	10.37	4.77	3.65	7.97	8.51	6.42	16.23	5.52	7.41	10.15
Na₂O	3.84	1.16	4.61	2.14	3.35	3.72	4.31	7.18	6.15	4.78	0.01	5.92	3.44	3.74
K₂O	0.13	3.78	1.95	0.38	1.23	2.28	2.03	0.07	1.82	0.39	0.04	1.67	0.75	0.14
LOI	5.69	1.16	3.65	2.15	5.64	2.27	5.35	5.43	1.55	7.46	5.47	4.42	7.23	5.89
Total	100	100	100	100	100	100	99.86	100	101.6	102	99.99	99.99	99	100
Cr	79.3	-	-	7	52	-	65.6	198.8	41.5	149.5	32.4	-	234	84.6
Nb	1.74	5.63	7	2.53	2.73	8.57	4.21	5.84	7.11	1.2	2.66	8.52	8.91	2.25
Ni	38.5	-	-	10.1	8.2	-	19.2	38.7	18.2	61.3	-	-	75.2	38.3
Pb	36.2	13.4	10.3	4.7	8.8	15.7	14.3	6.9	0.2	36.5	25.2	1.5	25.8	38.8
Rb	6.3	96.1	41.7	9.2	57	53.7	87.8	3.6	40	10.7	3.3	26.7	15.2	6
Sr	396	168	198.4	374	358.9	314	473.1	199.9	124.7	536.2	246.7	184	769	426.4
Th	0.92	5.88	3.76	1.78	0.7	4.63	-	3.19	3.87	0.84	1.19	5.86	3.09	1.26
Y	15.4	24.3	21.5	14	18.8	23.4	21	18.3	20.1	16.8	15.1	24.6	17.8	15.7
Zr	48.2	122	143.2	47.8	53.9	167	72.7	88.6	109.7	59.4	45	161.6	121	51.4
Ba	70.1	447	359.2	109.8	824.6	401	374.9	63.2	339.2	143.9	51.1	185.9	262	65.9
La	5.2	17.3	8.1	6.7	6.8	-	-	-	-	-	-	-	-	-
Nd	7.8	18.3	16.1	7.8	9.7	-	-	-	-	-	-	-	-	-
Sm	2.3	4.51	4.7	2.08	2.74	-	-	-	-	-	-	-	-	-
Eu	0.8	1.44	1.46	0.68	0.99	-	-	-	-	-	-	-	-	-
Tb	0.41	0.84	0.77	0.32	0.49	-	-	-	-	-	-	-	-	-
Dy	2.89	5.55	5.06	2.19	3.31	-	-	-	-	-	-	-	-	-
Tm	0.25	0.5	0.43	0.18	0.27	-	-	-	-	-	-	-	-	-
V	222	130	71	420	309	-	-	-	-	-	-	-	-	-
Yb	1.59	3.08	2.69	1.04	1.77	-	-	-	-	-	-	-	-	-
Ta	0.2	0.8	0.6	0.2	0.3	-	-	-	-	-	-	-	-	-
La/Sm	2.26	3.84	1.723	3.221	2.482	-	-	-	-	-	-	-	-	-
Sm/Yb	1.45	1.46	1.747	2	1.548	-	-	-	-	-	-	-	-	-

علائم : An = آندزیت، Ba = بازالت، An-Ba = آندزیت بازالتی

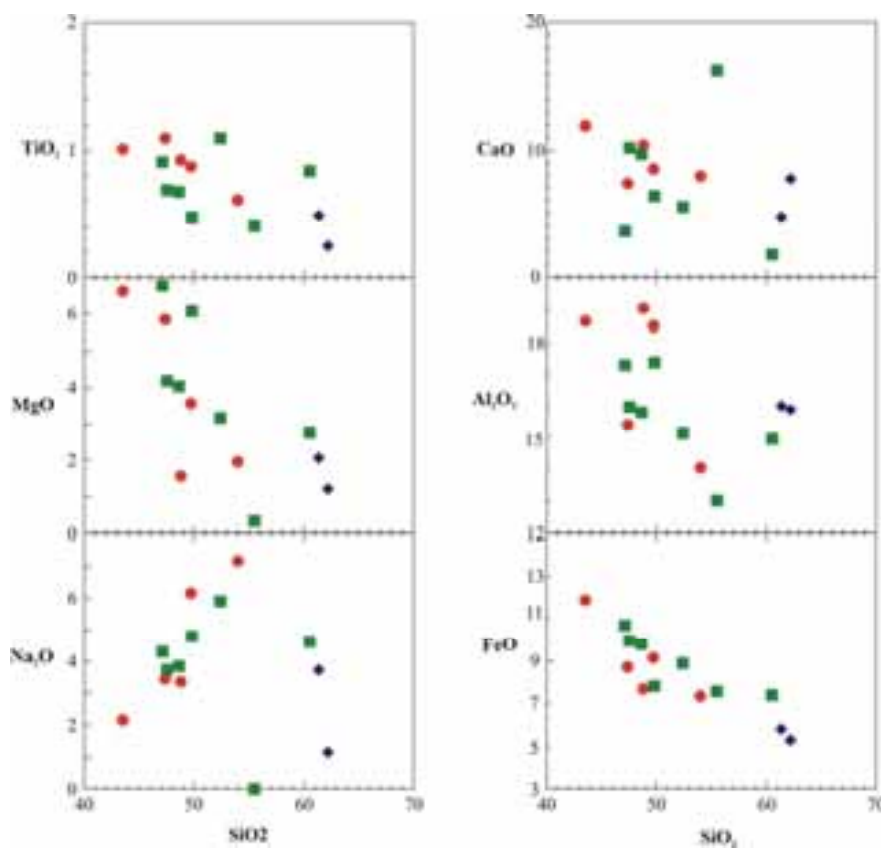
سنگ‌های آتشفشنای منطقه مورد مطالعه در محدوده کمان‌های ماغمایی ناشی از فرورانش قرار می‌گیرند (شکل ۷). با توجه به خصوصیات ژئوشیمیایی و همچنین با در نظر گرفتن موقعیت زمانی و مکانی سنگ‌های آتشفشنای تتماج، به نظر می‌رسد که این سنگ‌ها با

رونده غنی‌شدگی گدازه‌های مناطق فرورانش است. بنا بر این می‌توان نتیجه گرفت که سنگ‌های آتشفشنای تتماج از لحاظ ژئوشیمیایی به سنگ‌های سری کالک‌آلکالن محیط‌های فرورانش حاشه‌یه فعال قاره‌ای (Pearce 1983) شباهت دارند.

ماگماتیسم ناشی از فرورانش پوسته اقیانوسی نئوتیپس به زیر ورقه ایران مرکزی در ارتباط بوده و در یک محیط کمان ماگمایی (magmatic arc) تشکیل شده‌اند. برای تمایز کمان ماگمایی حاشیه (Pearce 1983) فعال قاره‌ای از کمان ماگمایی جزایر قوسی، از نمودار Zr/Y استفاده شده است. با توجه به شکل ۸ به نظر می‌رسد که کمان ماگمایی سازنده سنگ‌های منطقه، ناشی از فرورانش یک پوسته اقیانوسی به زیر یک پوسته قاره‌ای بوده است. از نسبت عناصر کمیاب Pearce نیز برای تشخیص رژیم تکتونیکی می‌توان استفاده کرد (Zr/Y > ۳). به این صورت که اگر در گدازه‌ها نسبت Zr/Y > ۳ باشد متعلق به کمان‌های آتشفشانی قاره‌ای هستند و اگر در آن‌ها < ۳ باشد به کمان‌های آتشفشانی اقیانوسی تعلق دارند. سنگ‌های آتشفشانی منطقه مورد مطالعه دارای نسبت Zr/Y > ۳ هستند و در گروه قوس‌های آتشفشانی قاره‌ای قرار می‌گیرد. بنابراین محیط تکتونوماگمایی منطقه مورد مطالعه را می‌توان جزء محیط‌های حاشیه فعال قاره‌ای (active continental margin) به شمار آورد.



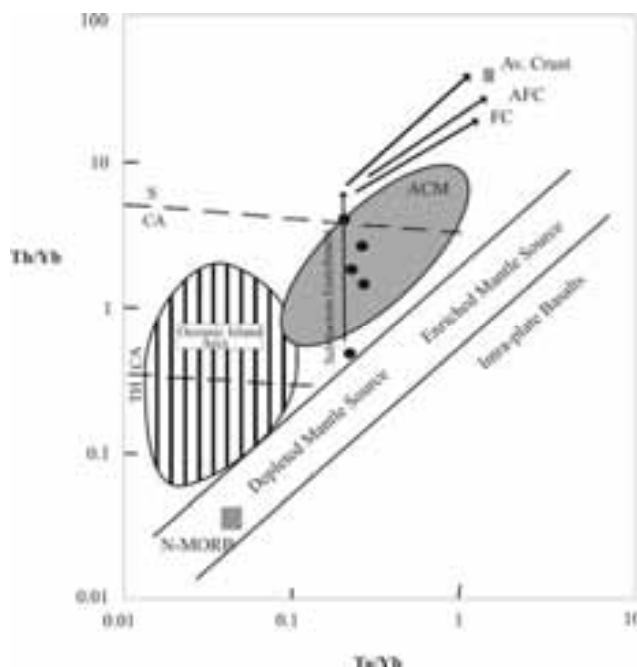
شکل ۳- دیاگرام SiO_2 در مقابل K_2O (LeMaitre, 2002). که سنگ‌ها در محدوده‌های بازالت، آندزیت بازالتی و آندزیت و پتانسیم بالا، متوسط و پایین قرار می‌گیرند.



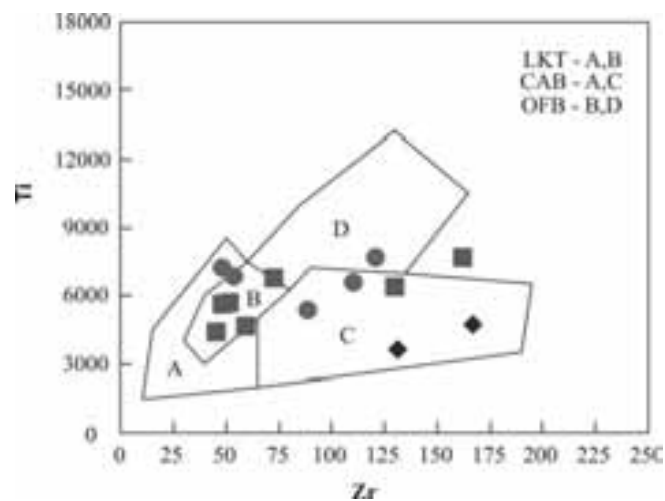
شکل ۴- روند تغییرات عناصر اصلی نسبت به SiO_2 علامت دایره بازالت، مربع آندزیت بازالتی و لوزی آندزیت را نشان می‌دهد.

کمیاب Yb, Y, Dy, Th, Eu, Sm, Zr در نمونه‌ها تقریباً مشابه با فراوانی این عناصر در E-MORB است و در عین حال عناصر کمیاب دارای پتانسیل یونی پایین (LILE) پراکندگی بیشتری نسبت به عناصر

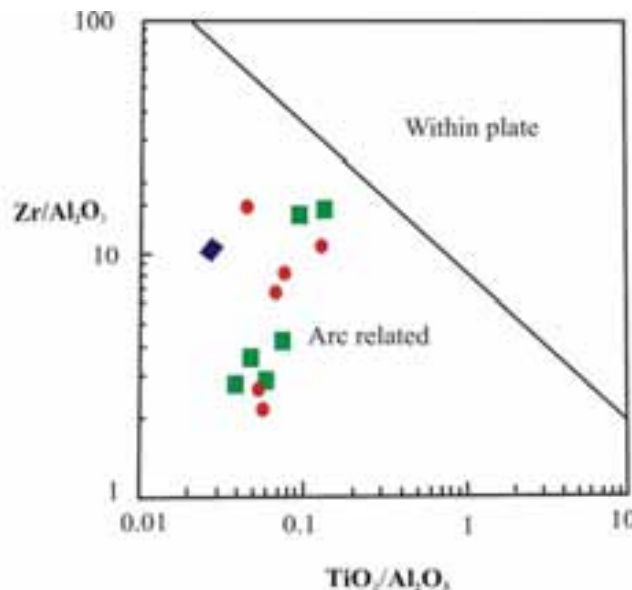
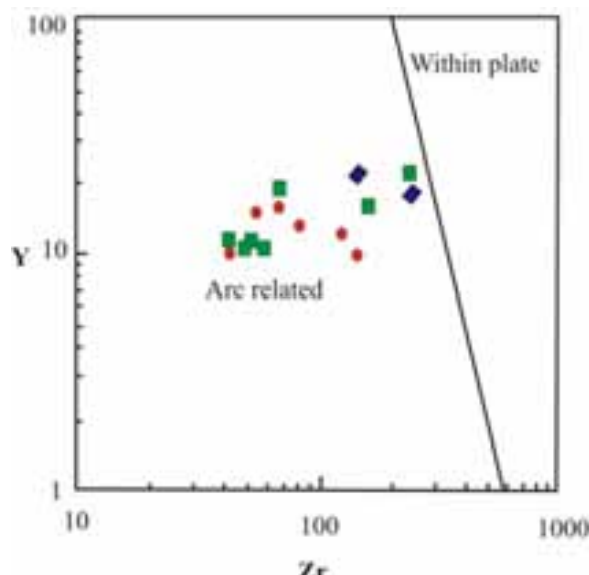
در شکل ۹ ترکیب شیمیایی سنگ‌های آتشفشانی تتماج نسبت به بازالت‌های پشت‌های میان اقیانوسی غنی‌شده (E-MORB) نرمالیز شده است. همانطور که در این شکل مشاهده می‌شود فراوانی عناصر



شکل ۶- دیاگرام Th/Yb در مقابل Ta/Yb برای سنگ‌های آتشفشنی تتماج (Pearce & Cann 1973) (A: محدوده بازالت‌های درون صفحه‌ای و B: محدوده MORB)، پراکندگی نمونه‌ها از الگوی مناطق فروزانش پیروی می‌کنند (Pearce 1983).



شکل ۵- موقعیت سنگ‌های آتشفشنی تتماج بر روی نمودار پیرس و کان (Pearce & Cann 1973) (A: محدوده بازالت‌های جزایر قوسی، C: محدوده بازالت‌های کالک آلکالن است. علامت مشابه شکل ۴ است.

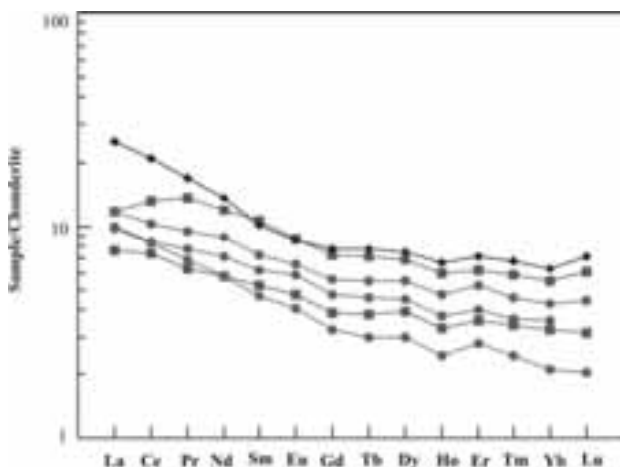


شکل ۷- تعیین محیط نکتونیکی سنگ‌های آتشفشنی تتماج (Muller & Groves 1997)، علامت مشابه شکل ۴ است.

است، می‌تواند نشان دهنده شکل‌گیری سنگ‌ها در منطقه فروزانش باشد. چرا که در مناطق فروزانش سیالات آزاد شده از لیتوسفر فرورونده که از Nb فقیر و از LILE غنی‌اند، در گوه گوشه‌های افزایش می‌یابد (Borg *et al.* 1997). آنومالی مثبت Pb به متاسوماتیسم گوه گوشه‌های توسط سیالات ناشی از پوسته اقیانوسی فرورو و یا آلایش مagma با پوسته قاره‌ای اشاره دارد (Kamber *et al.* 2002).

با پتانسیل یونی بالا (HFSE) نشان می‌دهند. این پراکندگی به علت تحرك نسبتاً زیاد عنصر LILE در طول آلتراسیون است (Morata & Aguirre 2003). روند تغییرات عنصر کمیاب در سنگ‌های مختلف کم و بیش موازی است که این امر دلالت بر هم منشأ بودن آن‌ها دارد. آنومالی منفی عنصر Ti (به غیر از بازالت‌ها)، P, Rb و Nb که منجر به ظهور الگوی زیگزاک در روند تغییرات عنصر کمیاب نمونه‌ها شده

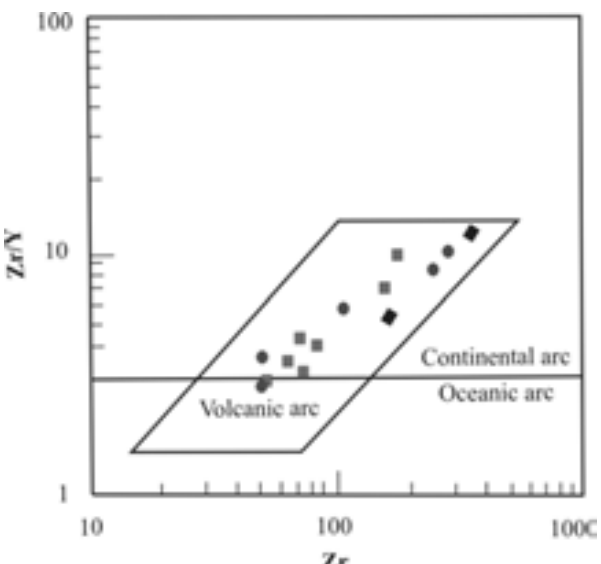
در شکل ۱۰ فراونی عناصر نادر خاکی نمونه‌ها، نسبت به کندریت نرمالیز (Nakamura 1977) شده است. چنانچه در این شکل ملاحظه می‌شود الگوهای یکنواخت غنی‌شدگی از عناصر نادر خاکی سبک (از La تا Sm) در مقایسه با عناصر نادر خاکی سنگین (HREE) در نمونه‌ها به چشم می‌خورد به طوری که عناصر نادر خاکی سبک (LREE) حدود ۶۰ تا ۹ برابر مقدار کندریتی هستند در حالی که عناصر HREE حدود ۴ تا ۸ برابر کندریت می‌باشند. غنی‌شدگی از عناصر LREE نسبت به عناصر HREE و مقدار کم TiO_2 و Nb و Zr وابستگی این سنگ‌ها را به سری‌های کالک‌آلکالن نشان می‌دهند وابستگی این سنگ‌ها را به سری‌های بازالتی آنومالی مثبت نشان می‌دهد منفی و در آندزیت‌ها و آندزیت‌های بازالتی آنومالی مثبت نشان می‌دهد که این امر احتمالاً مربوط به تجمع پلازیوکلاز در آندزیت‌ها در حین تحولات ماقمایی می‌باشد (McKenzie & O'Nions 1991).



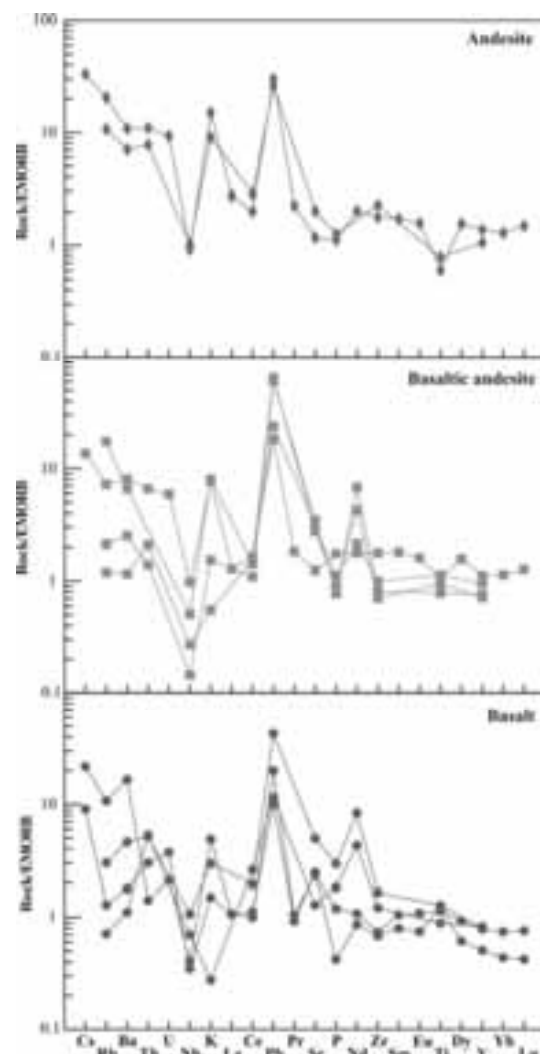
شکل ۱۰- الگوی نرمالیزه شده عناصر نادر خاکی سنگ‌های بازیک تتماج نسبت به کندریت (Nakamura 1977). علائم مشابه شکل ۴ است.

منشأ احتمالی مagma

ماگمای تشکیل دهنده سنگ‌های آتشفشانی در مناطق فروزانش معمولاً از گوه گوشه‌های، سیالات و مذاب‌های آبدار مشتق از پوسته اقیانوسی فرورو منشاء می‌گیرند (Pearce & Peate 1995). ماگماهایی که از گوه گوشه‌های نشأت گرفته‌اند معمولاً دارای K_2O بالا و MgO پایین هستند (Middlemost 1986). نسبت بالای Ba/Th اشاره به تأثیر رسوبات در ژنز مagma دارد (Morata & Aguirre 2003). در سنگ‌های آتشفشانی مورد مطالعه میزان K_2O در طیف گستره‌های نوسان دارد ولی نسبت Ba/Th در نمونه‌ها بالا است. Ba عنصری ناسازگار و متحرک است که مقدار آن در پوسته قاره‌ای و رسوبات زیاد می‌باشد (Rollinson 1998). هنگامی که پوشش رسوبی روی پوسته اقیانوسی فروزانده می‌شود عناصر Ba و Sr توسط سیالات مشتق شده از رسوبات آبدار و پوسته اقیانوسی به گوه گوشه‌ای منتقل شده و تولید



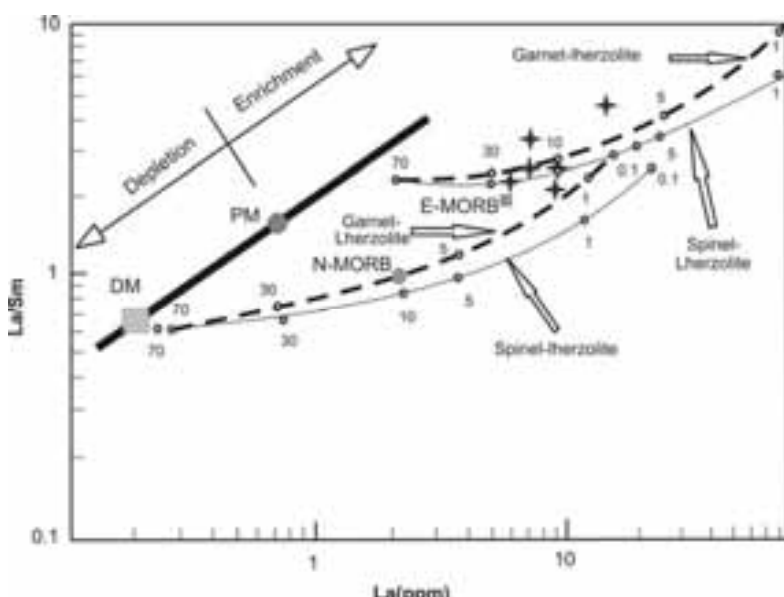
شکل ۸- محیط تکتونیکی سنگ‌های منطقه مطالعه بر اساس تغییرات در برابر Zr/Y (Pearce 1983). علائم مشابه شکل ۴ است.



شکل ۹- نمودار عنکبوتی سنگ‌های مافیک تتماج، بهنجار شده نسبت به (Sun & McDonough 1989) E-MORB.

دو شاخه مختلف گوشه‌ته غنی‌شده (Enriched mantle) و گوشه‌ته تهی‌شده (Depleted mantle) تعقیب نمود. به عبارت دیگر از مقایسه ترکیب گدازه‌ها با ترکیب مذاب‌های منشأ گرفته از ذوب لرزولیت‌های اسپینل یا گارنت‌دار، می‌توان به درجه ذوب بخشی و ماهیت گوشه‌ته منشأ آن‌ها پی‌برد. نمونه‌های مورد بررسی از لحاظ فراوانی عناصر La و Sm همگی ترکیبی مشابه با مذاب‌های مشتق شده از گوشه‌ته غنی‌شده را دارند و بر روی روند منطبق با حدود ۱۰ تا ۲۰ درصد ذوب بخشی لرزولیت گارنت‌دار نشأت گرفته‌اند. اعداد روی خطوط معرف درجه ذوب بخشی می‌باشند. در روی خط ضخیم، محدوده گوشه‌ته اولیه، تهی‌شده و غنی‌شده مشخص شده است. چنانچه در این شکل مشاهده شده از پوسته اقیانوسی فرورونده، از عناصر کمیاب غنی‌شده است منشأ گرفته باشند.

ماگماهای با Ba و Sr بالا می‌کند (Morata & Aguirre 2003) شکل ۱۱، نشان‌دهنده تغییرات نسبت La در برابر La/Sm در سنگ‌های آتشفشنی تتماج است. در این شکل خطوط ممتدا برای نشان‌دهنده روند تغییر ترکیب مذاب‌هایی است که با درجات مختلف ذوب بخشی از لرزولیت اسپینل‌دار مشتق شده‌اند و خطوط منقطع بیانگر مذاب‌هایی است که از ذوب بخشی لرزولیت گارنت‌دار نشأت گرفته‌اند. اعداد روی خطوط معرف درجه ذوب بخشی می‌باشند. در روی خط ضخیم، محدوده گوشه‌ته اولیه، تهی‌شده و غنی‌شده مشخص شده است. چنانچه در این شکل مشاهده می‌شود با فرض لرزولیتی بودن ترکیب گوشه‌ته، می‌توان روند تغییرات ترکیب مذاب‌های مشتق از درجات مختلف ذوب بخشی گوشه‌ته را در



شکل ۱۱- نمودار تغییرات La/Sm در مقابل La (Aldanmaz *et al.* 2000) برای سنگ‌های بازیک منطقه تتماج.

P, Rb و Nb دارای آنومالی منفی هستند ولی Pb و K آنومالی مثبت نشان می‌دهد. این شواهد از مشخصات سنگ‌های ماگمایی مناطق فرورانش است (Pearce 1983).

نرمالیز کردن عناصر نادر خاکی نمونه‌ها نسبت به کندریت نشان دهنده غنی‌شدنی یکنواخت نمونه‌ها از عناصر نادر خاکی سبک (LREE) در مقایسه با عناصر نادر خاکی سنگین (HREE) است. غنی شدنی از LREE نسبت به HREE و بالا بودن میزان Ba و Sr در سنگ‌های منطقه می‌تواند حاکی از حضور گارنت در رستیت و فقدان یا کمبود پلازیوکلاز در رستیت باشد.

مطالعه ژئوشیمی عناصر کمیاب و نیز موقعیت زمانی و مکانی سنگ‌های بازیک منطقه تتماج حاکی از آن است که سنگ‌های مذکور با ماگماتیسم ناشی از فرورانش پوسته اقیانوسی نئوتیس به زیر صفحه ایران مرکزی مطابقت می‌نماید. به نظر می‌رسد که گدازه‌های منطقه

نتیجه‌گیری

سنگ‌های آتشفشنی مجموعه آتشفشنی-رسوبی تتماج مشتمل بر بازالت، آندزیت بازالتی و آندزیت هستند که به طور متناوب با سنگ‌های آذرآواری و رسوبی رخمنون دارند. مطالعات فسیل‌شناسی نشان می‌دهد که این سنگ‌ها متعلق به الیگوسن و مربوط به یک محیط زیردریایی نزدیک به ساحل می‌باشند.

بر اساس داده‌های ژئوشیمیایی عناصر اصلی و کمیاب، سنگ‌های آتشفشنی تتماج جزء سری کالک آلکالن محسوب می‌شوند. نسبت Zr/Y نشان می‌دهد که سنگ‌های مذکور مربوط به قوس‌های آتشفشنی قاره‌ای می‌باشند. پایین بودن مقدار عدد #Mg در نمونه‌ها نشانه نقش فرآیندهای تحول ماگمایی در شکل‌گیری گدازه‌های این ناحیه است. در دیاگرام عناصر کمیاب نرمالیزه شده نسبت به پشت‌های میان اقیانوسی غنی‌شده (E-MORB)، عناصر Ti (به غیر از بازالت‌ها)،

سنگ‌های آتشفسانی تتماج (جنوب شرق کاشان) به شماره پرونده ۶۰۴/۲۶۰۵۰۶۱ ک. است که با حمایت مالی معاونت محترم پژوهشی دانشگاه تهران انجام شده است. لذا بدينوسيله از همکاری ارزنده آن معاونت قدردانی می‌گردد.

تماج از ذوب بخشی گوه گوشه‌ای که در اثر تماس سیالات مشتق شده از پوسته اقیانوسی فرورونده، از عناصر کمیاب غنی‌شده اند، منشاء گرفته باشند.

قدردانی

این پژوهش حاصل طرح تحقیقاتی "زمین‌شناسی و پترولوزی

منابع:

- امامی م.۵.م: ماغماتیسم در ایران. سازمان زمین‌شناسی و اکتشافات معدنی کشور. تهران.
- علائی مهابادی س., خلعتبری جعفری م. ۱۳۷۷: نقشه زمین‌شناسی ۱/۱۰۰۰۰۰ چهارگوش نطنز. سازمان زمین‌شناسی کشور. سری ۶۴۵۷.
- معین وزیری ح. ۱۳۸۳: چند نقطه عطف در تاریخچه تکتونوماگماتی ایران. *فصلنامه علوم زمین*. ۴۹-۵۰.
- مهندی زرقندی م. ۱۳۵۷: مطالعه زمین‌شناسی و پترولوزی سنگ‌های آذرین ناحیه شمال ابیانه، بین کاشان و نطنز. پایان‌نامه کارشناسی ارشد. دانشگاه تهران، دانشکده علوم. Aldanmaz E., Pearce J.A., Thirlwall M.F., Mitchell J.G. 2000: Petrogenetic evolution of late Cenozoic, post-collision volcanism in western Anatolia, Turkey. *J. Volcan. Geo. Res.* **102**: 67– 95.
- Amidi S.M. 1975: Contribution a l etude streligraphique, petrologique et petrochemique des roches magmatique de la region Natanz-Nain-Surk (Iran central). These univ. Grenoble, France. 316p.
- Berberian F., Berberian M. 1981: Tectono-plutonic episodes in Iran. In: Delany F.M., Gupta H.K. (Eds.) *Am. Geophys. Union Geodynamics Series*. Pp. 5-32.
- Berberian F., Muir I.D., Pankhurst R.J., Berberian M. 1982: Late Cretaceous and Early Miocene Andean type plutonic activity in northern Makran and Central Iran. *J. Geol. Soc. Lond.* **139**: 605-614.
- Borg L.E., Clyne M.A., Bullen T.D. 1997: The variable role of slabderived fluids in the generation of a suite of primitive calc-alkaline lavas from the Southernmost Cascades, California. *Can. Min.* **35**: 425–452.
- Fisher R.V., Schmincke H.U. 1984: Pyroclastic Rocks. Springer-Verlag, Berlin.
- Folk R.L. 1980: Petrology of sedimentary rocks. Austin, Texas: Hemphills, Booksone.
- Glenn A.G. 2004: The influence of melt structure on trace element partitioning near the peridotite solidus. *Contrib Mineral Petrol.* **147**: 511–527.
- Gust D.A., Perfit MR. 1987: Phase relations of a high-Mg basalt from the Aleutian island arc: implications for primary island arc basalts and high-Al basalts. *Contrib Mineral Petrol.* **97**: 7-18.
- Gourgaud A., Vincent P.M. 2003: Petrology of two continental alkaline intraplate series at Emi Koussi volcano, Tibesti, Chad. *J. volcan. Geo. Res.* **129**: 261-290.
- Gutman J.T. 1977: Texture and genisis of phenocrysts in basaltic lava from the volcanic field. *Amer. J. Sci.* **277**: 833-861.
- Jung D., Kursten M.O., Tarkian M. 1975: Post-Mesozoic volcanism in Iran and its relation to the subduction of the Afro-Arabian under the Eurasian plate. In: Pilger & Rösler (Eds.), Afar between continental and oceanic rifting. pp. 182-190. International Symposium on the Afar Region and Related Rift Problems, Bad Bergzabern, April 1974, Vol. 2.
- LeMaitre R.W. 2002: Igneous Rocks: A Classification and Glossary of Terms. Cambridge University Press, Cambridge.
- Loeblich A., Tappan H. 1988: Foraminiferal genera and their classification, Van Nostrand reinhold. Volume 1, New York.
- Middlemost E.A.K. 1986: Magmas and magmatic rocks: an introduction to igneous petrology. John Wiley & Sons Inc., New York.
- Nelson S.T., Montana A. 1992: Sieve texture plagioclase in volcanic rocks produce by rapid decompression. *Amer. Min.* **77**: 1242-1249.
- Kamber B.S., Ewart A., Collerson K.D., Bruce M.C., McDonald G.D. 2002: Fluid-mobile trace element constraints on the role of slab melting and implications for Archaean crustal growth models. *Contrib Mineral Petrol.* **144**: 38–56.
- Machado A., Lima E.F., Chemale J.F.; Morta D., Oteiza O., Almeida D.P.M., Figueiredo A.M.G., Alexandre F.M., Urrutia J.L., 2005: Geochemistry constraints of Mesozoic-Cenozoic calc-alkaline magmatism in the South Shetland arc, Antarctica. *J. South Amer. Earth Sci.* **18**: 407-425.
- McKenzie D., O'Nions R.K. 1991: Partial melt distribution from inversion of rare earth element concentrations. *J. Petrol.* **32**: 1021– 1091.
- Morata D., Aguirre L. 2003: Extensional lower Cretaceous volcanism in the Coastal Range (29 20 -30 S), Chile: geochemistry and petrogenesis. *J. South Amer. Earth Sci.* **16**: 459-476.
- Muller D., Groves D.I. 1997: Potassic igneous rocks and associated gold-copper mineralization. *Lecture Notes in Earth Sciences*. No.56.
- Nakamura, N., 1977: Determination of REE, Ba, Mg, Na and K in carbonaceous and ordinary chondrites. *Geochemica et Cosmochimica Acta*. **38**: 757-775.
- Pearce J.A. 1983: Role of sub-continental lithosphere in magma genesis at active continental margins. In: Hawkesworth C.J., Nurry M.L. (Eds.), Continental basalts and Mantle Xenoliths. Shiva, Nantwich. Pp. 230-249.

- Pearce J.A., Cann J.R. 1973: Tectonic setting of basic volcanic rocks determined using trace element analyses. *Earth Plan. Lett.* **19:** 290-300.
- Pearce J.A., Norry M.J. 1979: Petrogenetic implication of Ti, Zr, Y and Nb variations in volcanic rocks. *Con. Min. Petrol.* **69:** 33-47.
- Pearce J.A., Peate D.W. 1995: Tectonic implications of the composition of volcanic arc magmas. *Ann. Rev. Earth Plan. Sci.* **23:** 251-285.
- Philpotts A.R. 1990: Principles of igneous and metamorphic Petrology. Prentice Hall, New Jersey.
- Pourhosseini F. 1981: Petrogenesis of Iranian plutons: a study of the Natanz and Bazman intrusive complexes. P.h.D. Thesis University of Cambridge.
- Rollinson H. 1998: Using geochemical data: Evaluation, presentation, interpretation. Longman, Singapore.
- Shtöcklin J. 1968: Structural history and tectonics of Iran: a review. *AAPG Bulletin* **52:** 1229-1258.
- Shtöcklin J., Nabavi M.H. 1973: Tectonic map of Iran, 1:2 500 000. *Geological Survey of Iran*. Tehran
- Stewart M.L., Pearce T.H. 2004: Sieve-textured plagioclase in dacitic magma: Interference imaging results. *Amer. Min.* **89:** 348-351.
- Sun S.S., Mc Donough W.F. 1989: Chemical and isotopic systematic of oceanic basalts: implications for mantle composition and processes. In: Saunders A.D., Norry M.J. (Eds.), Magmatism in the Ocean basins. *Geol. Soc. Sp. Pub.* **42:** 313-345.
- Wilson M. 1989: Igneous petrogenesis. Unwin Hyman, London.
- Yoder H.S., Tilley C.E. 1962: Origin of basalt magmas: an experimental study of natural and synthetic rock systems. *J. Petrol.* **3:** 342-532.